

УДК 537.311.3

© 1992

## ОСОБЕННОСТИ ЭЛЕКТРИЧЕСКИХ И МАГНИТНЫХ СВОЙСТВ ОКСИСУЛЬФИДОВ $\text{MeS} \cdot \text{Fe}_2\text{O}_3$

Г. В. Лосева, Г. М. Мукоед, С. Г. Овчинников, Л. И. Рябинкина

Сообщаются результаты исследования структурных, тепловых (ДТА), электрических и магнитных свойств окисульфидов  $\text{MeS} \cdot \text{Fe}_2\text{O}_3$  ( $\text{Me} = \text{V}, \text{Fe}, \text{Mn}$ ) в области температур 77–1200 К. Обнаружен эффект ПМД (переход металл–диэлектрик) в  $\text{FeS} \cdot \text{Fe}_2\text{O}_3$  при ~120 К и в  $\text{VS} \cdot \text{Fe}_2\text{O}_3$  при ~300 К. Проведено сравнение электронных структур  $\text{MeS} \cdot \text{Fe}_2\text{O}_3$  и  $\text{Fe}_3\text{O}_4$ .

Исследования ПМД в магнитоупорядоченных соединениях переходных металлов позволяют изучать роль обменных взаимодействий при перестройке электронного энергетического спектра, а также создавать новые материалы с заданными магнитными свойствами и параметрами ПМД для технического применения. В настоящее время ПМД наиболее изучен в окислах и сульфидах 3d-металлов [1, 2].

На основе двух антиферромагнитных моносульфидов 3d-металлов созданы системы твердых растворов, в которых установлены электронные (ПМД) переходы, вызванные изменением магнитного порядка [3].

В настоящей работе сообщаются результаты исследования электрических, магнитных, структурных и тепловых свойств окисульфидов  $\text{MeS} \cdot \text{Fe}_2\text{O}_3$ , созданных на основе антиферромагнитного окисла  $\alpha\text{-Fe}_2\text{O}_3$  и антиферромагнитных моносульфидов  $\text{MeS}$  ( $\text{Me} = \text{V}, \text{Fe}, \text{Mn}$ ), претерпевающих ПМД.

### 1. Получение образцов и методики измерения

Поликристаллические образцы  $\text{MeS} \cdot \text{Fe}_2\text{O}_3$  ( $\text{Me} = \text{V}, \text{Fe}, \text{Mn}$ ) получены отжигом эквимолярных количеств порошков  $\alpha\text{-Fe}_2\text{O}_3$  и  $\text{MeS}$  в откаченных кварцевых ампулах. Тонкодисперсный порошок  $\alpha\text{-Fe}_2\text{O}_3$  получен как конечный продукт дегидратации синтезированной гидроокиси  $\alpha\text{-FeOOH}$  (тетит) при ее про-каливании [4]. Поликристаллические моносульфиды  $\text{FeS}$ ,  $\text{VS}$ ,  $\text{MnS}$  синтезированы из порошков электролитического металла и серы чистоты 99.999% в вакуумированных кварцевых ампулах.

Рентгеноструктурный анализ образцов  $\text{MeS} \cdot \text{Fe}_2\text{O}_3$  проведен на дифрактометре ДРОН-3 в  $\text{CuK}_{\alpha}$ -излучении в области 77–300 К. Мессбауэровские спектры снимались на ЯГР-спектрометре с источником  $\text{Co}^{57}$  в матрице хрома при 300 К. Дифференциально-термический анализ (ДТА) в области 300–1400 К осуществлялся на дериватографе фирмы МОМ со скоростями нагрева 9.10.12 °/мин на образцах, помещенных в вакуумированные кварцевые ампулы специальной формы. Удельное электросопротивление  $\rho$  (Т) измерялось четырехзондовым потенциометрическим методом на постоянном токе в вакуумной камере термостата в интервале 77–1100 К. Намагниченность образцов измерялась на маятниковом магнитометре в полях до 10 кЭ в интервале 77–300 К и на

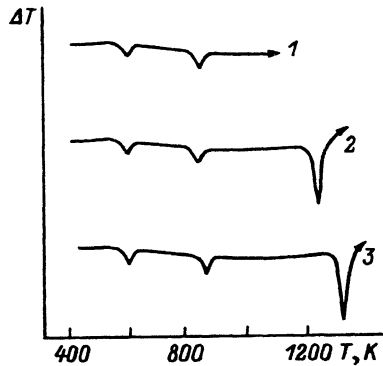


Рис. 1. Кривые ДТА для  $\text{FeO} \cdot \text{Fe}_2\text{O}_3$  (1),  $\text{FeO} \cdot \text{Fe}_2\text{O}_3$  (2),  $\text{VS} \cdot \text{Fe}_2\text{O}_3$  (3).

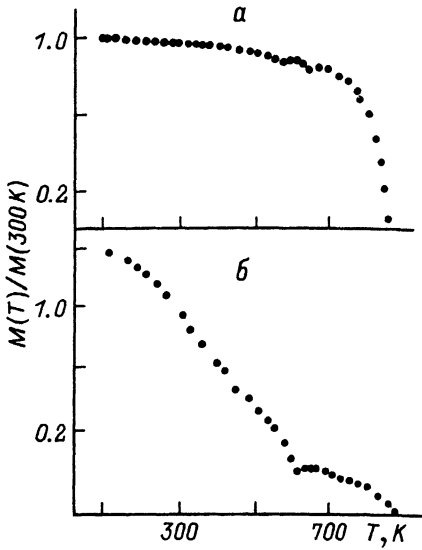


Рис. 2. Температурные зависимости относительной намагниченности  $M(T)/M(300 \text{ K})$  для  $\text{FeS} \cdot \text{Fe}_2\text{O}_3$  (а) и  $\text{VS} \cdot \text{Fe}_2\text{O}_3$  (б).

баллистической установке в области 300—1000 К и поле  $H = 0.5 \text{ кЭ}$  на образцах, помещенных в вакуумированные кварцевые ампулы.

## 2. Экспериментальные результаты

Согласно данным рентгеноструктурного анализа, в результате спекания эквимолярных количеств  $\alpha\text{-Fe}_2\text{O}_3$  и  $\text{FeS}$  получены окисульфиды со структурой шпинели с параметром элементарной ячейки  $a = 8.396 \pm 0.001 \text{ \AA}$ , близким к  $\text{Fe}_3\text{O}_4$ , что согласуется с результатами [5, 6]. Авторы [6] определили это вещество как сульфомагнетит  $\text{FeS} \cdot \text{Fe}_2\text{O}_3$  с плотностью  $4.9 \text{ г}/\text{см}^3$ . Структуру шпинели типа магнетита подтвердили данные мессбауэровского исследования.

Кривые ДТА  $\text{FeS} \cdot \text{Fe}_2\text{O}_3$  позволили установить температуру появления окисульфида  $\sim 1250 \text{ К}$  и две обратимые эндотермические аномалии при  $T_1 \sim 600 \text{ К}$  и  $T_2 \sim 830 \text{ К}$  (рис. 1). Температура  $T_2$  соответствует температуре Кюри окисульфида (рис. 2). Кривые температурной зависимости удельного электросопротивления  $\text{FeO} \cdot \text{Fe}_2\text{O}_3$  и  $\text{FeS} \cdot \text{Fe}_2\text{O}_3$  приведены на рис. 3. Известно, что магнетит в области  $T_V \sim 120 \text{ К}$  претерпевает переход Вервея с изменением величины электросопротивления на два порядка (рис. 3, кривая 1 [7]). Из рис. 3 видно, что скачок электросопротивления в той же области температур с изменением  $\rho(T)$  на порядок имеет место и в  $\text{FeS} \cdot \text{Fe}_2\text{O}_3$ . Выше 190 К в  $\text{FeS} \cdot \text{Fe}_2\text{O}_3$  сохраняется активационная проводимость с энергией активации  $\sim 0.04 \text{ эВ}$ . Из температурной зависимости  $\rho(T)$  в интервале 300—1100 К (рис. 3, вставка) видно, что материал в области обратимой эндотермической аномалии  $T_1$  имеет изменение типа проводимости от полупроводникового до полуметаллического. Аналогичное изменение проводимости имеет место в магнетите при  $T \sim 350 \text{ К}$ .

В результате спекания эквимолярных количеств VS и  $\alpha\text{-Fe}_2\text{O}_3$  получен материал, содержащий фазу ванадиевой шпинели (до 60—80%) и фазу  $\text{Fe}_{1+x}\text{S}$ . Параметр решетки шпинельной фазы  $a = 8.405 \pm 0.001 \text{ \AA}$  близок к параметрам  $\text{FeS} \cdot \text{Fe}_2\text{O}_3$  и  $\text{Fe}_3\text{O}_4$ . Двухфазность  $\text{VS} \cdot \text{Fe}_2\text{O}_3$  подтвердили ЯГР-спектры при 300 К. Аналогично  $\text{Fe}_3\text{O}_4$  и  $\text{FeS} \cdot \text{Fe}_2\text{O}_3$  окисульфид  $\text{VS} \cdot \text{Fe}_2\text{O}_3$  имеет спонтанный магнитный момент в интервале  $300 < T < T_k \sim 870 \text{ К}$ . Величина намагниченности

Рис. 3. Температурные зависимости электросопротивления для  $\text{FeO} \cdot \text{Fe}_2\text{O}_3$  (1),  $\text{FeS} \cdot \text{Fe}_2\text{O}_3$  (2),  $\text{VS} \cdot \text{Fe}_2\text{O}_3$  (3).

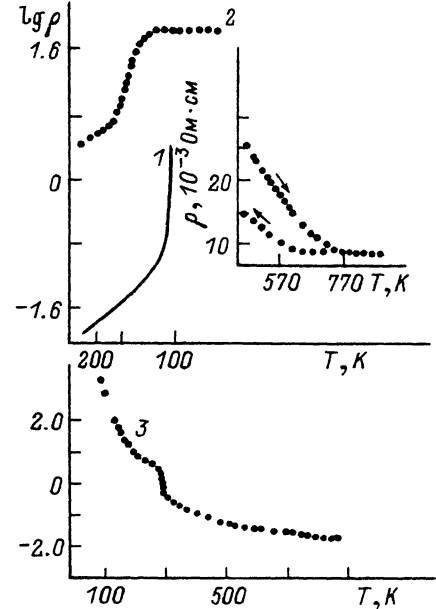
На вставке —  $\text{FeS} \cdot \text{Fe}_2\text{O}_3$  (в области 300—900 К).

насыщения при 300 К составляет  $8 \text{ Гс} \times \text{см}^3/\text{г}$ , что значительно ниже, чем у  $\text{Fe}_3\text{O}_4$  ( $95 \text{ Гс} \cdot \text{см}^3/\text{г}$ ) и  $\text{FeS} \cdot \text{Fe}_2\text{O}_3$  ( $68 \text{ Гс} \cdot \text{см}^3/\text{г}$ ). Понижение намагниченности сопровождается ростом величины удельного электросопротивления. Так, если для  $\text{FeS} \cdot \text{Fe}_2\text{O}_3 \rho_{100 \text{ K}} = 80 \text{ Ом} \cdot \text{см}$ , то для  $\text{VS} \cdot \text{Fe}_2\text{O}_3 \rho_{100 \text{ K}} = 1.6 \times 10^3 \text{ Ом} \cdot \text{см}$ . Из температурной зависимости  $\rho (T)$  (рис. 3, кривая 3) следует, что  $\text{VS} \cdot \text{Fe}_2\text{O}_3$  имеет аномалию проводимости в области комнатных температур. В интервале 100—200 К окисульфид  $\text{VS} \cdot \text{Fe}_2\text{O}_3$  является полупроводником с энергией активации  $\sim 0.11 \text{ эВ}$ . С возрастанием температуры с области 280—330 К величина  $\rho (T)$  уменьшается в 7—8 раз, а энергия активации возрастает до  $\sim 0.32 \text{ эВ}$ . Выше 350 К сохраняется активационный тип проводимости с энергией активации  $\sim 0.11 \text{ эВ}$ . При охлаждении имеет место гистерезис сопротивления, наблюдаемый в интервале 300—600 К. Температурная зависимость намагниченности  $\text{VS} \cdot \text{Fe}_2\text{O}_3$  в отличие от магнетита и сульфомагнетита имеет излом в области 600 К (рис. 2). Температурам аномалий намагниченности и магнитного перехода соответствуют эндотермические пики на кривых ДТА. Аналогичные тепловые аномалии при  $\sim 600$  и  $\sim 850$  К обнаружены в образцах природного и синтезированного  $\text{Fe}_3\text{O}_4$  (рис. 1). Температура плавления  $\text{VS} \cdot \text{Fe}_2\text{O}_3$  составляет 1340 К.

В случае спекания  $\alpha\text{-Fe}_2\text{O}_3$  и  $\text{MnS}$  получена система шпинель типа магнетита,  $\text{Fe}_{1+x}\text{S}$  и  $\text{MnS}$ . Оксисульфид  $\text{MnS} \cdot \text{Fe}_2\text{O}_3$  является диэлектриком при 300 К ( $\rho_{300 \text{ K}} \sim 2 \cdot 10^9 \text{ Ом} \cdot \text{см}$ ) и имеет высокие магнитные свойства.

### 3. Обсуждение результатов

Для обсуждения электронной структуры  $\text{FeS} \cdot \text{Fe}_2\text{O}_3$  рассмотрим сначала электронную структуру магнетита. Ряд экспериментальных данных (фотоэмиссия [8, 9], квантовые размерные эффекты в тонких пленках [10], изотопический сдвиг  $T_V$  [11]) говорят о том, что традиционную картину перехода Вервея в магнетите (порядок—беспорядок в системе ионов  $\text{Fe}^{2+}$  и  $\text{Fe}^{3+}$ ) необходимо дополнить зонными представлениями. Зонные расчеты ферримагнитной фазы  $\text{Fe}_3\text{O}_4$  для  $T > T_V$  показали [12] наличие группы  $t_{2g}$ -зон со спином вниз на уровне Ферми, связанных с перескоками  $d$ -электронов по  $B$ -подрешетке. Согласно [12], можно выделить две зоны полуметаллического типа (с малым заполнением). Зона 1 (в центре зоны Бриллюэна) образует электронный карман с числом электронов  $n_{el} \sim 0.03$  на формульную единицу, зона 2 (на границе зоны Бриллюэна) образует дырочный карман с  $n_{h2} < n_{el}$ . Зона 3 имеет сложную поверхность Ферми и может рассматриваться как резервуар электронов. Ее заполнение  $n_{el} \sim 1$ . В рамках обычной зонной теории поведение такой системы было бы металлическим. Однако известно, что выше  $T_V$  в  $\text{Fe}_3\text{O}_4$  имеется активационная проводимость. Противоречие снимается учетом внутриатомных корреляций в духе модели Хаббарда, которые расщепляют зону 3 на хаббардовские полосы и приводят к полупроводниковой зависимости проводимости [13]. Поскольку зона



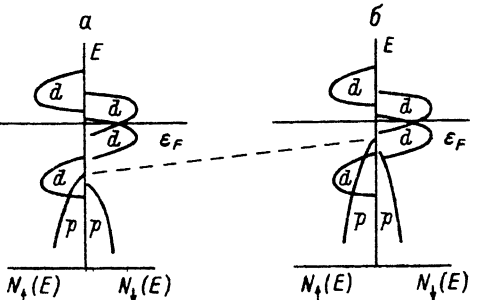


Рис. 4. Схема электронной структуры магнетита (a); предлагаемая схема для сульфомагнетита (b), отличающаяся подъемом потолка \$p\$-зоны и большим \$sp-d\$-перекрыванием. \$T > T\_V\$.

ности) применялась ранее [15] для описания структурного искажения в точке Вервея  $\text{Fe}_3\text{O}_4$ . Однако условие нестинга  $n_{c1} = n_{b2}$ , необходимое для образования ВЗП в пределе слабой связи  $\lambda \ll 1$ , как видно из рис. 4, не выполняется выше  $T_V$ . Поэтому непосредственно пользоваться результатами теории экситонного диэлектрика невозможно. Учет магнитных свойств в данном случае принципиален. Действительно, электроны зон 1 и 2 находятся в обменном молекулярном поле, снявшем вырождение по спину. Поскольку обе зоны описывают \$d\$-электроны из одной подрешетки, то это молекулярное поле однородно, как в ферромагнетике. Если считать, что результирующий спин направлен \$\uparrow\$, то на уровне Ферми находятся электроны со спином \$\downarrow\$, а подзоны со спином \$\uparrow\$ полностью заняты. Тогда с уменьшением температуры ниже  $T_V$  зоны со спином \$\downarrow\$ поднимаются и (при неподвижном химпотенциале)  $n_{c1}$  может сравняться с  $n_{b2}$ , что приведет к появлению нестинга. Тем самым задача свелась к теории ферромагнитного экситонного диэлектрика [14]. При понижении температуры числа электронов и дырок в зонах 1 и 2 сравниваются, что приводит к выполнению нестинга, если при  $T > T_V$  оно отсутствовало, и к неустойчивости однородного состояния относительно ВЗП.

Таков механизм перехода Вервея в магнетите, предложенный в [16] и сочетающий аспекты  $t_{2g}$ -электронов с наличием локализованного магнитного момента в A- и B-подрешетках. Из экспериментальных данных следует, что принципиальных отличий в кристаллической структуре магнетита и сульфомагнетита нет. Слабое увеличение параметра решетки, изменение температуры Кюри и намагниченности насыщения можно связать с изменением характера катион-анионных связей при частичном замещении кислорода на серу. На изменение характера катион-анионных связей указывает значительное (на 300 °) понижение температуры плавления сульфомагнетита. Поскольку разность электроотрицательностей Fe—O больше, чем Fe—S, то действительно при замене одного иона  $\text{O}^{2-}$  на  $\text{S}^{2-}$  доля ионной связи уменьшается. Из-за большего ионного радиуса серы по сравнению с кислородом увеличивается и \$sp-d\$-зонное перекрытие в энергетическом спектре сульфомагнетита, тем самым и доля ковалентной связи. Так как ионная связь в этих соединениях превышает ковалентную, то общая энергия связи уменьшается, что приводит к понижению температуры плавления сульфомагнетита. Уменьшение ионной связи означает и уменьшение энергетической щели между состояниями железа и заполненными состояниями аниона. В результате потолок зоны \$p\$-состояний анионов поднимется вверх на величину  $\Delta E$ , пропорциональную изменению энергии связи. Так как температура плавления сульфомагнетита уменьшилась примерно на одну треть, то можно ожидать, что  $\Delta E \sim E_g/3 \sim 2$  эВ, где  $E_g$  — щель в магнетите. Схема плотности состояний для сульфомагнетита и магнетита приведена на рис. 4. Увеличение степени \$sp-d\$-гибридизации в сульфомагнетите по сравнению с  $\text{Fe}_3\text{O}_4$  приводит к уменьшению величины намагниченности и температуры Кюри, размытию низкотемпературного скачка электросопротивления. Однако, несмотря на большую степень

гибридизации, мы полагаем, что структура  $t_{2g}$ -зон в окрестности уровня Ферми сохраняется в сульфомагнетите. Поскольку именно эти зоны ответственны за аномалии физических свойств магнетита в области 120 К, то аналогичные аномалии имеют место и в сульфомагнетите в той же области температур.

#### Список литературы

- [1] Лосева Г. В., Овчинников С. Г., Петраковский Г. А. Переход металл—диэлектрик в сульфидах 3d-металлов. М.: Наука, 1983. 144 с.
- [2] Бугаев А. А., Захарченко Б. П., Чудновский Ф. А. Фазовый переход полупроводник—металл и его применение. Л.: Наука, 1979. 183 с.
- [3] Лосева Г. В., Рябинкина Л. И., Овчинников С. Г. // ФТТ. 1989. Т. 31. № 3. С. 45—49.
- [4] Лосева Г. В., Мурашко Н. В., Петухов Е. П. // Изв. АН СССР. Сер. физика земли. 1975. Т. 39. № 8. С. 114—119.
- [5] Takashashi T., Yamada O. // J. Cryst. Growth. 1973. V. 20. N 2. P. 89—92.
- [6] Hilpert R. S., Haier K. H., Hoffman A. // Ber. 1938. V. 71B. N 8. P. 2682—2686.
- [7] Domenicali C. A. // Phys. Rev. 1950. V. 78. N 4. P. 458—467.
- [8] Bishop S. G., Kemeni K. C. // Sol. Stat. Comm. 1974. V. 15. N 11/12. P. 1877—1879.
- [9] Alvorado S. F., Eib W., Heier F., Pierce D. T. et al. // Phys. Rev. Lett. 1975. V. 34. N 6. P. 319—323.
- [10] Бабкин Е. В., Черкунова Н. Г., Овчинников С. Г., Вальков В. В. // ФТТ. 1983. Т. 25. № 6. С. 1896—1898.
- [11] Terukov E. I., Reichelt W., Ihle B., Oppermann H. // Phys. Stat. Sol. 1979. V. 95. N 2. P. 491—495.
- [12] Yakase A., Siratori K. // J. Phys. Soc. Jpn. 1984. V. 53. N 1. P. 312—317.
- [13] Зайцев Р. О., Иванов В. А. // ФТТ. 1987. Т. 29. № 4. С. 1211—1213.
- [14] Копаев Ю. В. // Труды ФИАН. 1975. Т. 86. № 1. С. 3—100.
- [15] Eujii Y., Shirane G., Yamada Y. // Phys. Rev. 1975. V. 11. N 5. P. 2036—2042.
- [16] Овчинников С. Г. // ФТТ. 1987. Т. 29. № 6. С. 1758—1762.

Институт физики им. Л. В. Киренского  
СО РАН  
Красноярск

Поступило в Редакцию  
24 января 1992 г.